

論 文

622,341,1-105 : 539,56 : 669,162,263,232

自溶性焼結鉱の高炉炉頂付近における粉化について*

小島鴻次郎**・永野恭一***・稻角忠弘***・高木勝博***

On Degradation of Self-Fluxing Sinters in the Top of the Blast Furnace

Koijiro KOJIMA, Kyoichi NAGANO, Tadahiro INAZUMI and Katsuhiko TAKAGI

Synopsis:

Many experiments of bench scale previously reported that hematite in sinter plays a vital role for the degradation of sinter during reduction at low temperatures.

In order to elucidate this phenomenon in actual blast furnace, flue dust from blast furnace and sinter charged were compared, using the samples taken from Nagoya No 1 blast furnace which is operated with high sinter ratio of 85% in burden. The coke in the flue dust is removed with heavy media separation before undergoing to tests.

The results of chemical analyses and mineral composition determination with X-Ray diffraction method showed that the hematite tends to concentrate into flue dust.

The flue dust particles are classified into 6 categories according to the crystal structure of hematite, with the point counting method under microscope. The results showed that the flue dust contains a lot of particles bearing the hematite, i.e., particles bearing rhombohedral crystals of the hematite, and the magnetite crystals with the hematite lamellae.

From the above test results, it is considered that the degradation of self-fluxing sinter in the blast furnace would be influenced by the hematite, especially rhombohedral and lamellae hematites, in sinter.

(Received June 17, 1969)

1. 緒 言

自溶性焼結鉱を 400~700°C の低温域で CO 還元する際に起こる粉化現象は低温還元粉化と称され、従来多くのすぐれた研究が行なわれておる、神原¹⁾、安達²⁾、小菅³⁾らはいずれもこの現象は自溶性焼結鉱のヘマタイトと関連があることを指摘している。低温還元粉化現象はその起こる温度範囲から類推して高炉では炉頂近くで起こるものと考えられ、発生した粉は一部は高炉ダスト中に入つてくるものと推定される。そこで高炉ダストを詳細に調査することによつて、従来実験室的に起こるとなっていた自溶性焼結鉱の低温還元粉化が高炉内でも起つているのかどうか、またそれを支配する要因はなにかなどを検討できるものと考えられる。ここでは焼結鉱配合比の高い高炉の乾ダストについてヘマタイトに着目して装入焼結鉱と比較を行ない、焼結鉱中のどのような部分が低温還元粉化の要因となつてゐるかを検討した結果を報告する。

2. 供試試料および実験方法

実験当時に当社において焼結鉱配合比の最も高かつた名古屋第1高炉において、昭和42年4月20日に炉前で採取した装入焼結鉱および装入焼結鉱を採取してから2 hr後と3 hr後にダストキャッチャーより採取した乾ダストを前者をNo 1、後者をNo 2として供試した。装入焼結鉱と乾ダストの採取時期は装入された焼結鉱が高炉内500°C 前後のゾーンに降下する時間およびダストキャッチャー内のダストの蓄積時間を考慮して一応は時系列的に2あるいは3 hrずらしたが、真の対応がついているか否かは不明である。しかしながら試料採取時の炉況は安定しており、採取時間内においてはダストの成分的変動は小さいものと見なして実験に供試した。なお、試料採取日の高炉の焼結鉱配合比は 85% である。

* 昭和44年1月17日受付

** 富士製鉄(株)中央研究所 工博

*** 富士製鉄(株)中央研究所

装入焼結鉱試料は一部は顕微鏡観察用研磨片とし、一部は化学分析およびX線回折による鉱物定量に供した。乾ダストはそのままおよび粒度別に篩別後比重約2.23の重液(四臭化エタンと四塩化炭素の容量比1:1混合液)を用い遠心分離機によって重液選別してコークスを除きアルコールで洗滌後に一部は顕微鏡観察用研磨薄片(反射光および透過光同時観察用)とし、一部は化学分析およびX線回折による鉱物定量に供した。

X線回折による鉱物定量はここではヘマタイトに着目して検討するのでヘマタイトの(104)ピークのピーク高さおよびマグネタイトの(311)ピークのピーク高さをそれぞれヘマタイト量指数および酸化鉄量指数とし、試料間の相対値として定量した。ここでマグネタイトの(311)ピークにはヘマタイトの(110)ピークが少しずれて重なり、このピーク高さをもつてマグネタイト量指数とするのは不適当であるのでヘマタイトとマグネタイトの合計量に比例する量とみなして酸化鉄量指数とした。なおX線回折による鉱物定量は理論的には回折ピークの積分強度比によるべきであるが、ここでは便宜的にピーク高さをもつて代用した。

顕微鏡による鉱物定量はヘマタイトの形態に着目して分類し、ポイントカウンティングによつて行なつた。具体的な分類については後述する。

3. 実験結果

3.1 粒度分析結果

乾ダストの粒度分布をTable 1に示す。ダストのほとんどが+200メッシュであり、重液選別によつてコークスを分離すると粒度が細粒になることから、コークスの方が粒度が大きいことができる。

3.2 化学組成

装入焼結鉱および重液選別でコークスを分離したダストの化学組成をTable 2に比較して示す。ダスト中のコークスの重液選別は200~270mesh以下では分離度が低下しているが、これより粗粒の場合にはほぼ完全に分離されている。

Table 2において装入焼結鉱の化学成分の合計は99.71%で100%に近いのに対してダストの化学成分の合計は93~97%である。そこで装入焼結鉱とダストの比較の

Table 1. Size distribution of BF dust.

Sample Size(mesh)*	Dust No 1		Dust No 2	
	Before separation	After separation	Before separation	After separation
+100	59.0	47.3	60.2	53.9
100~150	15.5	17.6	15.6	17.0
150~200	14.4	19.7	14.0	16.8
200~270	6.2	8.6	5.9	6.9
270~325	1.6	2.3	1.4	1.7
-325	3.3	4.5	2.9	3.7

* Tylor standard sieves.

Table 2. Chemical composition of BF dust and charged sinter.

		Chemical composition (%)								
		T.Fe	FeO	Fe ₂ O ₃	SiO ₂	CaO	Al ₂ O ₃	MgO	C	Total
Charged sinter		58.87	9.92	73.16	5.96	7.80	1.49	1.38	—	99.71
Dust No 1	+100mesh	53.69	7.04	68.95	7.85	6.47	2.42	1.44	1.19	95.36
	100~150	56.49	7.92	71.97	6.60	6.05	2.06	1.38	0.647	96.63
	150~200	57.31	6.65	74.56	6.03	5.43	1.92	1.27	0.623	96.48
	200~270	55.99	6.74	72.57	5.59	4.89	1.99	1.18	3.45	96.41
	270~325	52.28	7.44	66.50	5.78	4.69	2.18	1.11	8.10	96.80
	-325	53.40	6.87	68.73	6.29	4.35	2.58	1.01	3.79	93.62
Dust No 2	+100 mesh	54.99	10.19	67.31	7.03	6.21	2.22	1.35	0.383	94.69
	100~150	57.58	10.02	71.20	6.11	5.44	1.96	1.27	0.240	96.24
	150~200	59.46	10.42	73.44	5.12	4.79	1.73	1.13	0.144	97.07
	200~270	58.96	9.77	73.46	5.40	4.54	1.87	1.06	0.527	86.63
	270~325	57.16	9.97	70.66	5.42	4.30	1.93	1.03	1.20	94.51
	-325	53.97	8.52	67.71	5.57	3.98	2.27	0.93	5.70	94.68

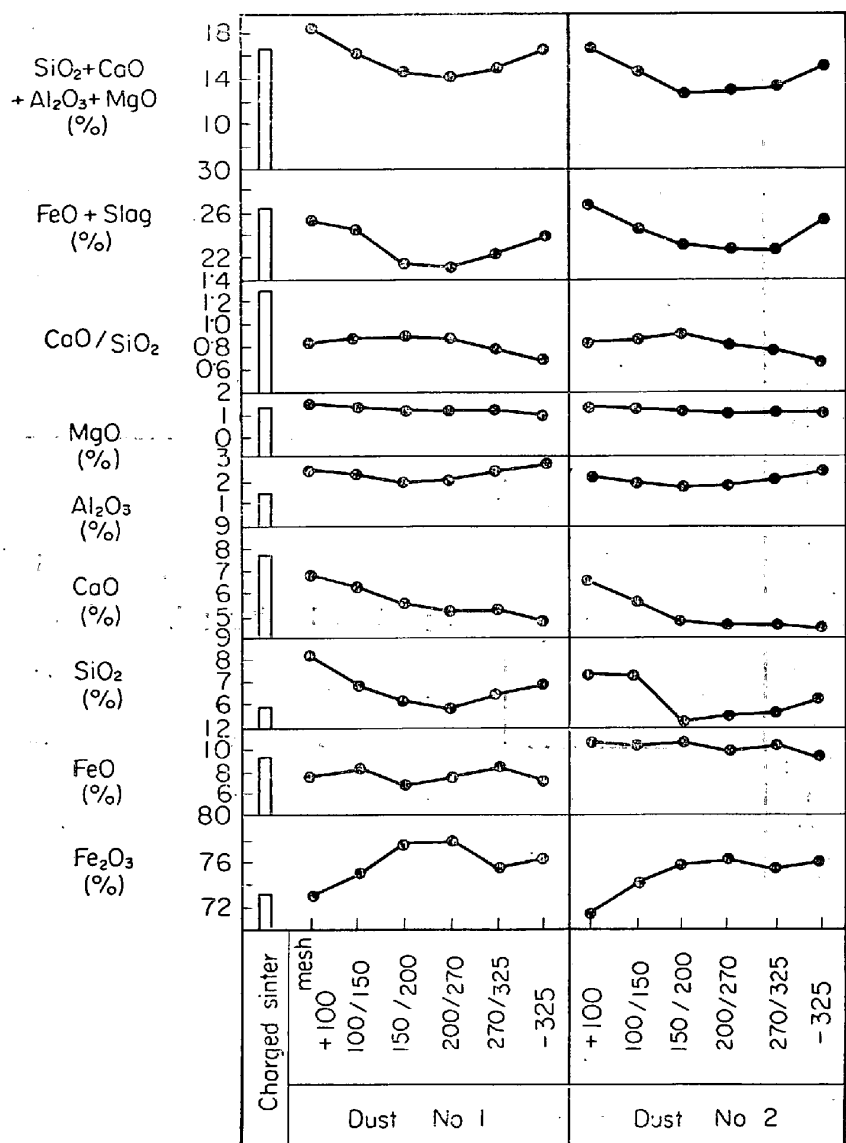


Fig. 1. Chemical composition of charged sinter and flue dust corrected to total 100%.

ために両者の化学成分の合計を 100% に補正した結果を Fig. 1 に示す。

Fig. 1 においてダストの化学組成は装入焼結鉱と比較して CaO は低く、 Fe_2O_3 , Al_2O_3 , SiO_2 は高い傾向である。また塩基度 (CaO/SiO_2) は装入焼結鉱が 1.31 であるのに対してダストでは CaO が低く SiO_2 が高くなつて 1.0 以下に下つていることが特徴として注目される。また粒度別にみると細粒になるほど CaO, SiO_2 は低下し、 Fe_2O_3 は高くなり、 CaO/SiO_2 は低下する傾向がみられる。

化学組成の変化から Fe_2O_3 成分に相当する鉱物であるヘマタイトがダスト中には濃集する傾向にあることが推測される。すなわち Fe_2O_3 の増加と CaO の低下からカルシウムフェライトのように CaO が酸化鉄と結合しているものはダスト中に入る量が少なく、 CaO と結

合していないヘマタイトがダスト中に濃集するものと考えられる。また細粒ほど CaO が低く Fe_2O_3 が高いことからもカルシウムフェライトは粉化しにくく Fe_2O_3 は粉化しやすいことがうかがえる。ダストの Al_2O_3 が装入焼結鉱よりも高くなつてのことから Al_2O_3 は焼結に対して悪影響をおよぼすことが知られており、焼結鉱中の Al_2O_3 の高い部分の焼結程度が低く粉化しやすいためにダスト中に濃集するものと推定される。 $\text{FeO} + \text{SiO}_2 + \text{CaO} + \text{MgO} + \text{Al}_2\text{O}_3$ (%), あるいは $\text{SiO}_2 + \text{CaO} + \text{MgO} + \text{Al}_2\text{O}_3$ (%) についてもダストのほうが装入焼結鉱よりも低くなつており、これらの脈石成分量の低下により自溶性焼結鉱の低温還元粉化が著しくなるという従来の研究から類推して焼結鉱中のこれらの脈石成分の低い部分がダストに濃集しているものと考えられる。

3.3 鉱物組成および形態分析

装入焼結鉱およびダストの鉱物組成を X 線回折および検鏡によつて同定した。顕微鏡観察の結果、装入焼結鉱にはヘマタイト、マグネタイト、カルシウムフェライト、ライムオリビンおよびメリライトなどがみられ、ダスト中にはこれらの鉱物の外にわずかの単体石英およびウスタイトがみられた。X 線回折の結果、装入焼結鉱、ダストいずれについても回折

角 $2\theta = 42^\circ$ 附近にヘマタイトの主要ピークが現われ、 $2\theta = 45^\circ$ 附近にマグネタイトの主要ピークとヘマタイトの第 2 ピークが現われ、また $2\theta = 42.5^\circ$ 附近にヘミカルシウムフェライトのピークがわずかに現れている。このほかにダストについてウスタイトのピークがわずかに現われただけである。

前述の化学組成の検討結果から、ダスト中にはヘマタイトの濃集していることが推測されたので、次には X 線回折によつて形態分析を行ないヘマタイト量指数および酸化鉄量指数を測定した。測定結果を Fig. 2 に示す。

装入焼結鉱とダストを比較するとダストのほうがヘマタイト量指数が高く、酸化鉄量指数が低いことがわかる。またダストの粒度別にみると細粒のほうがヘマタイト量指数が高くなつていている。これらの結果よりダスト中にはヘマタイトが濃集しており、細粒のダストほどヘマ

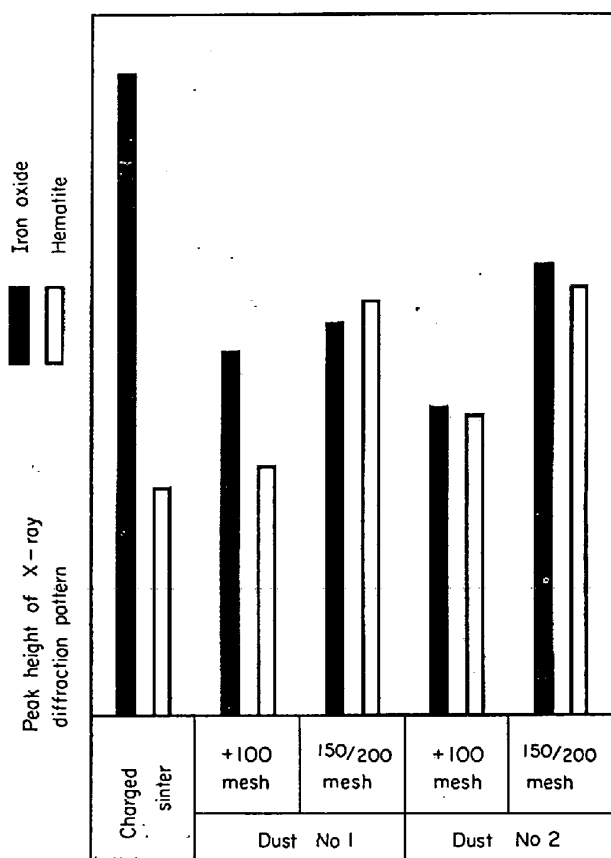


Fig. 2. The results of mineral analyses by X-ray diffraction method.

タイトが多いということができ、前述の化学組成からの推測結果ともよく一致している。

3-4 ダストの微細構造による分類

化学組成およびX線回折による形態分析の解析結果よりヘマタイトがダスト中に濃集し、高炉炉頂付近における焼結鉱の粉化の一つの要因であることが推測された。そこで焼結鉱のヘマタイトが割れてダスト中に入っているのかどうか、あるいはヘマタイトがどのようにして割れに寄与しているのかを確かめる目的で、研磨薄片の顕微鏡観察によつてダスト粒子の微細構造を調べた。特にダストの割目（粒子表面）に着目して観察を進めた結果ダスト中には特徴的な形態をしたヘマタイトを含む粒子の数が多いことが認められた。そこでヘマタイトの形態的な特徴から分類を決め、ポイントカウンティングによつてダスト粒子の分類を行なつた。

分類内容をTable 3に示す。分類1はPhoto. 1, 2に示すような rhombohedral (菱形) のヘマタイトを伴う粒子であり、分類2はPhoto. 3に示すようなマグネタイトの(111)面に沿つた線状ヘマタイトを伴う粒子であり、分類3はPhoto. 4に示すような微細なヘマタイトの集合からなつているヘマタイトを伴う粒子であり、

これは直交ニコル下でみると、微細な結晶が一定方位で集合しており、もとは1つの単結晶であつたものが分解したものと推定される。分類4はPhoto. 5に示すような通常の塊鉱石にみられる多結晶のヘマタイトを伴うダストである。以上の4分類はヘマタイトの形態的な特徴による分類であり、このほかにヘマタイトを伴わない粒子として分類5はほとんどマグネタイトのみからなる粒子であり、分類6は以上の分類に入らないマグネタイトと

Table 3. Classification of BF dust particles.

Classification	Characteristics of particles
1	The particles bearing rhombohedral crystals of hematite.
2	The particles bearing magnetite with hematite lamellae
3	The particles bearing finely degraded hematite.
4	The particles bearing polycrystalline hematite.
5	The particles bearing magnetite only.
6	The others (the particles bearing calcium ferrite, wustite etc.)



Photo. 1. The particle bearing rhombohedral crystals of hematite of classification 1.



Photo. 2. The particle bearing rhombohedral crystals of hematite of classification 1 (left).

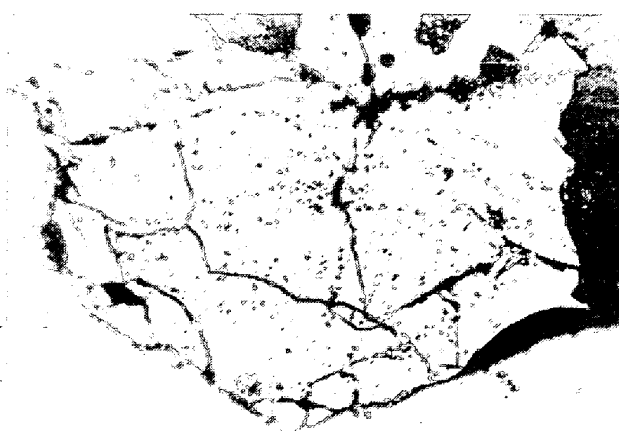


Photo. 3. The particle bearing magnetite with hematite lamellae of classification 2.

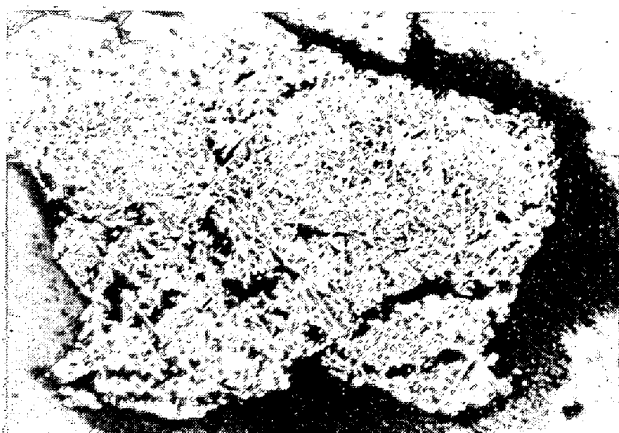


Photo. 4. The particle bearing finely degraded hematite of classification 3.



Photo. 5. The particle bearing polycrystalline hematite of classification 4.

カルシウムフエライトの混合組織の粒子、石英粒子、ウスタイトからなる粒子などである。

以上述べた 6 分類に従つてダストの研磨薄片試料について顕微鏡下でポイントカウンティングを行なつた。高炉ダストのようにかなり不均一と思われるものにポイントカウンティング法を適用して再現性のある結果が得ら

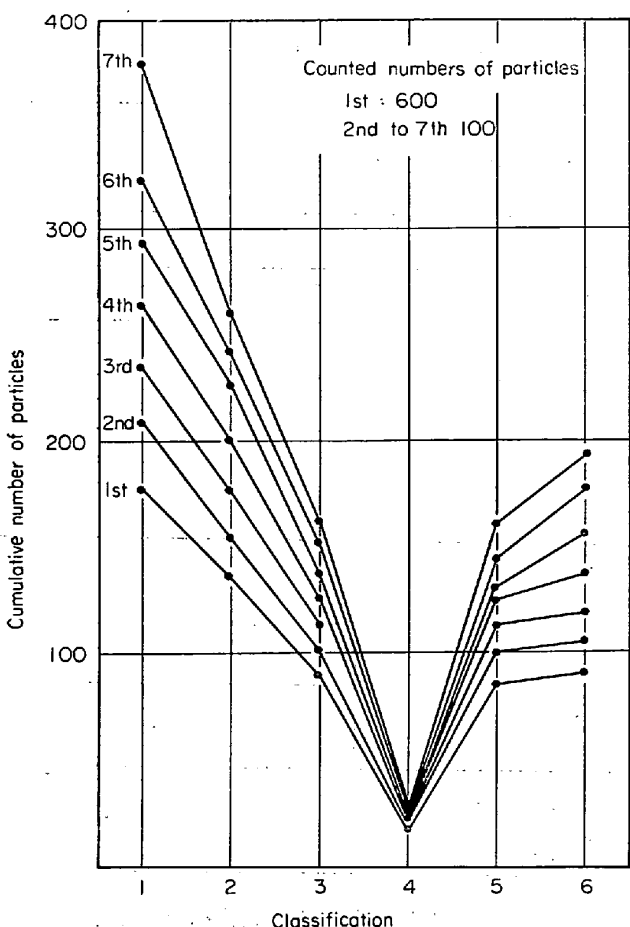


Fig. 3. An example of particle distribution of dust No 1 (+100 mesh) classified according to table 3.

れるかどうかをみるためにカウントの各段階毎のカウント結果を Fig. 3 に示す。Fig. 3 は第 1 回は 600 個の粒子をカウントし、第 2 回以降第 7 回までは各回 100 個の粒子をカウントし、積算した結果である。第 1 回から第 7 回まで分類ごとの粒子数の積算値の傾向は一致しており、この方法が妥当であることが明らかである。

各ダスト試料についておのおの 1200 個の粒子をカウントした結果を Table 4 に示す。Table 4 にはまた装入焼結鉱の研磨試料について顕微鏡下で鋼の非金属介在物測定用格子線入り接眼鏡 (JIS G 0555) を使つてダストと同じ大きさに分割して観察し、ダストと同様にポイントカウンティングした結果をあわせて示す。観察は 2 個の試料について行ないカウント数は各試料について 2800 個である。

ダスト中には分類 1 の菱形ヘマタイトが最も多く、分類 2 の線状ヘマタイトがこれに次ぎ、分類 4 の多結晶ヘマタイトが最も少なく、他の分類のものは 10% 台である。装入焼結鉱中には分類 5 のマグネタイトが最も多く、ヘマタイトはダスト中の 1/2 以下であり、特に分類

Table 4. The particle distribution of BF dust and charged sinter ores classified according to table 3.

Classification		Distribution (%)						Summation		
		1	2	3	4	5	6			
Sample	Size (mesh)							1 + 2	1 + 2 + 3 + 4	
Dust	No 1	+100	30.8	22.3	13.9	2.3	13.9	16.8	53.1	69.3
		150/200	34.8	20.4	17.4	1.9	14.9	10.6	55.2	74.5
Sinter	No 2	+100	33.2	16.2	17.1	1.1	15.4	17.0	49.4	67.6
		150/200	34.2	16.6	21.2	1.8	16.2	10.0	50.8	73.8
Sinter		No 1	15.8	0.2	3.9	0	71.3	8.8	16.0	19.9
		No 2	15.3	7.3	15.5	0	51.6	10.3	22.6	38.1

Table 5. The particle distribution of mechanically degraded sinter ores at room temperature classified according to table 3.

Classification	Distribution (%)						Summation	
	1	2	3	4	5	6		
48/100 mesh	34.6	6.2	1.1	7.3	35.7	15.1	40.8	49.2
100/150 mesh	25.9	5.5	0.4	8.1	41.8	18.3	31.4	39.9

2の線状ヘマタイトは少なく、線状ヘマタイトの特に多い部分をカウントしたNo 2試料についてもダスト中の1/2~1/3になつてゐる。ヘマタイトに関係する分類(1+2)あるいは(1+2+3+4)の合計量についてみるとダスト中には焼結鉱中の2倍ないしはそれ以上のヘマタイトが濃集していることが明らかであり、菱形ヘマタイトおよび線状ヘマタイトのダスト中への濃集が特徴的である。

高炉ダスト中には焼結鉱以外の塊鉱石に由来する粒子も存在し、分類3の分解ヘマタイトおよび分類4の多結晶ヘマタイトは焼結鉱中に残留した未反応鉱石あるいは塊鉱石に由来するものも含まれると考えられる。しかしながら分類1, 2の菱形ヘマタイトと線状ヘマタイトは焼結鉱に特有のものであり、高炉内の焼結鉱の粉化はこの両者のヘマタイトと密接な関係があるといふことができる。

3.4 焼結鉱の常温破壊粉の微細構造による分類

高炉炉頂部付近における焼結鉱の粉化は還元作用のみならず、機械的な衝撃や磨耗作用によるものもあると考えられたので、上述の実験でダストと対比させた装入焼結鉱を常温で機械的作用によつて粉化させた常温破壊粉についても微細構造による分類を行なつてみた。

装入焼結鉱200gを200mm×200mmのスチール

製ボールミルにスチールボール20個(約8kg)とともに入れ、60 rpmで30min間回転させて後48, 100, 150meshで篩別した粉を供試した。研磨薄片を作製し、高炉ダストと同じ分類に従つてポイントカウンティングした結果をTable 5に示す。

Table 5とTable 4を比較すると、まず装入焼結鉱に比して常温破壊粉には分類1, 2, 4の菱形ヘマタイト、線状ヘマタイトおよび多結晶ヘマタイトが増加しており、分類5のマダネタイトは減少している。またダストに比して分類1の菱形ヘマタイトは同程度であり、分類2, 3の線状ヘマタイトと分解ヘマタイトは著しく少なく、分類4, 5の多結晶ヘマタイトとマグネタイトがかなり高くなつてゐる。またヘマタイトを含む粒子の合計量については常温破壊粉は装入焼結鉱と高炉ダストの中間程度の量になつてゐる。

これらの結果より、常温の機械的粉化にもヘマタイトが関連していることが推論されるが、線状ヘマタイトは常温破壊粉中よりも高炉ダストのほうが多く、線状ヘマタイトを伴う部分については常温の機械的作用による粉化とともに高炉内の還元作用も影響していると考えられる。

常温破壊粉中に多結晶ヘマタイトを伴う粒子が多いのは、これが自溶性焼結鉱中ではもとの鉱石粒が残留した

ものであり、このような部分は焼結が不十分で強度が低いためと考えられる。またマグネタイトを伴う粒子については常温破壊粉ではガラス質スラグを伴つており、ガラスボンドが機械的作用には弱く、熱的あるいは化学的作用には強いためと考えられる。

なお、常温破壊粉中のマグネタイトを伴う粒子が焼結鉱中よりも少ないので、粉化したものではマグネタイトが他の分類の粒子に伴われてカウントされているためである。

なお、さらに確認の意味で装入焼結鉱を実験室で 550 °C, CO 30%, N₂ 70%, 30 min 還元させて発生した粉の顕微鏡観察を行なつたが、この条件の還元では還元の進行によりヘマタイトは残存しておらず、形態別の分類を行なうことはできなかつた。

4. 考 察

高炉乾ダストと装入焼結鉱を比較した結果、自溶性焼結鉱の高炉炉頂付近における粉化には菱形ヘマタイトや線状ヘマタイトの構造を有する部分がかなりの影響をおよぼしていることが明らかになつた。

神原¹⁾、松下⁴⁾らは実験的実験により焼結鉱あるいは人工マグネタイトの還元前後の顕微鏡観察を行ない、線状ヘマタイトに沿つて割れ目が発達することを報告しており、安達²⁾、小菅³⁾らは自溶性焼結鉱の低温還元粉化はヘマタイトと関連があることを報告している。

自溶性焼結鉱の鉱物構造は非常に不均一であり、菱形ヘマタイトや線状ヘマタイトなどの特異なヘマタイトも

部分的に偏在しており、これらのヘマタイトが高炉乾ダスト中に濃集していることから、このような特異なヘマタイトを伴う部分が高炉々頂付近における自溶性焼結鉱の粉化に関与しているものと推論される。

5. 結 論

(1) 高炉乾ダストと装入焼結鉱についてまず化学分析およびX線回折によりヘマタイトを定量し、高炉乾ダスト中にヘマタイトが濃集していることを明らかにした。さらにヘマタイトの構造的な特徴によって分類することによつて高炉乾ダスト中には菱形ヘマタイトと線状ヘマタイトを伴う粒子が濃集しており、自溶性焼結鉱の高炉々頂付近における粉化にはこれらの特異なヘマタイトが関連があることを明らかにした。

(2) 自溶性焼結鉱の常温破壊にも菱形ヘマタイト、線状ヘマタイトならびに多結晶ヘマタイトなどの特異なヘマタイトが関連しているが、線状ヘマタイトは高炉乾ダスト中の方が常温破壊粉中よりも多く濃集し、線状ヘマタイトは高炉々頂付近における熱および還元作用に特に関連があるものと推論された。

文 献

- 1) 神原、藤田、沖川: 鉄と鋼, 52 (1966) 3, p. 495~498
- 2) 安達: 鉄と鋼, 52 (1966) 3, p. 491~495
- 3) 小菅、石光、菅原、佐藤: 鉄と鋼, 52 (1966) 3, p. 501~504
- 4) 松下、徳田: 鉄と鋼, 49 (1963) 10, p. 1344~1345